DEVELOPMENT OF HIGH-RESOLUTION IMAGING METHODS FOR MYOSIN MOTOR STUDY

SNEHA KUMARI

DEPARTMENT OF BIOCHEMICAL ENGINEERING AND BIOTECHNOLOGY
INDIAN INSTITUTE OF TECHNOLOGY DELHI
AUGUST 2024

DEVELOPMENT OF HIGH-RESOLUTION IMAGING METHODS FOR MYOSIN MOTOR STUDY

by

SNEHA KUMARI

DEPARTMENT OF BIOCHEMICAL ENGINEERING AND BIOTECHNOLOGY

Submitted

In fulfilment of the requirements of the degree of Doctor of Philosophy
to the

INDIAN INSTITUTE OF TECHNOLOGY DELHI

AUGUST 2024

Dedicated to My Parents

CERTIFICATE

This is to certify that the thesis titled **"Development of High-Resolution Imaging Methods for Myosin Motor Study,"** being submitted by **Ms. Sneha Kumari** to the Indian Institute of Technology Delhi for the award of the degree of **Doctor of Philosophy,** represents an original and authenticated work under my supervision and guidance performed by her under my supervision and guidance in compliance with the rules and regulations of Indian Institute of Technology Delhi.

To the best of my knowledge, the results embedded in this thesis have not been submitted and will not be submitted in part or full to this institute or any other institute or university for the award of any other degree or diploma**.**

Date

Dr. RaviKrishnan Elangovan
Associate Professor
Department of Biochemical Engineering and Biotechnology
Indian Institute of Technology Delhi
New Delhi - 110016

ACKNOWLEDGMENTS

The entirety of my road toward a Ph.D. has been comprised of a predetermined assortment of complex and perceptible occurrences that have played a significant part in reshaping and transforming my identity. It was an incredible learning experience and would not have been accomplished without the invaluable support and encouragement of numerous people whom I would like to express my gratitude and honor.

To begin, I would like to express my profound gratitude to the Almighty GOD for all the blessings that have been a source of strength, inspiration, and solace during moments of challenge and triumph.

Next, I want to extend my deep respect and admiration to Prof. Ravi Krishnan Elangovan for his exceptional academic supervision and unwavering moral encouragement. I am eternally grateful for his insight, experience, and patience, which significantly influenced the direction of this research. I sincerely appreciate his fervor for science and diligent disposition, which has inspired and been a significant impetus for me during my Ph.D. studies. I would like to extend my sincere gratitude to him for generously dedicating his precious time and providing me with invaluable guidance. His consistent mentorship and modern critique have allowed me to develop and advance professionally and personally. I aspire to perpetuate his fervor in my future pursuits.

I want to thank my research committee members, Prof. Saroj Mishra, Prof. Preeti Srivastava, and Prof. Vivekanndan Perumal, for assessing my work and providing their invaluable recommendations for its enhancement. I express my gratitude to Dr. Amit Das, Dr. Saroj Kumar, and Prof. Kedar Khare for their collaboration and assistance in various aspects of this research project. I want to express my gratitude to Prof. Ritu Kulshreshtha, the Head of the Department, and the other faculty members of DBEB for their engaging instruction and unwavering assistance throughout the past five years.

I want to express my sincere gratitude to the Molecular Imaging and Diagnostics Lab personnel for their invaluable assistance and unwavering support over the past five years. I want to express my gratitude to Dr. Vidhu Soman Pillai and Jagat Narayan Prajapati, who provided valuable recommendations and support in overseeing the laboratory environment during the execution of this project. I am forever grateful for the assistance and companionship provided by my friends –

Ms. Arti Tyagi, Mrs. Neha Khaware, Ms. Ada Zwetlana, Ms. Shefali Singh, and Ms. Neelam Upadhyay - who fostered a conducive work atmosphere and offered unwavering support throughout my academic journey at IIT-Delhi. I have also been fortunate enough to have amazing friends Ms. Aakanksha Ahlawat, Ms. Rupsa Chatterjee, Ms. Priyanka Dubey, and Mr. Imran Ahmad for intellectual companionship and joyous moments. Gratitude is also owed to Ms. Ratnabali, Mr. Aayush, Ms. Rukmini, Mr. Jaykumar, and other laboratory members for their efforts in sustaining a vibrant atmosphere within the lab. I want to thank Mr. Prabhu Balasubramanian, Mr. Gaurav Jhakda, Mr. Ashutosh Pathak, Mr. Ramesh, and Ms. Himanshi Singh for their diligent management of the laboratory's needs and valuable support in handling financial transactions.

I thank the DBEB and KSBS laboratory personnel for permitting me to utilize specific instruments and for providing me with the valuable opportunity to improve my practical skills. I thank Mr. Suraj Mishra at Sonipat-IIT Delhi campus for his supervision in learning essential microscopy instrument support. I want to thank the Indian Institute of Technology Delhi and specifically the Department of Biochemical Engineering and Biotechnology for selecting me to join the IITD community and supporting me in doing this research. I am grateful to the Ministry of Human Resource and Development, Government of India, for financially supporting my five-year PhD studies.

Finally, I am grateful and fortunate to have the indispensable support system of my affectionate family, throughout the journey: my mother Mrs. Niloo Srivastava, my father Mr. Sadanand Srivastava, my highly encouraging siblings, Ms. Pallavi Kumari, Ms. Smrity Kumari and my supportive husband Mr. Aniket Srivastava. The everlasting love, encouragement, and support that my family has provided me with during this journey is something for which I am indebted to them. Their unwavering affection, concern, and backing have been a constant source of inspiration in my relentless quest for excellence. I attribute my accomplishments solely to the graces bestowed upon me by others, and I wholeheartedly devote this thesis to them.

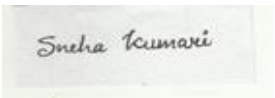

Date: Sneha Kumari

ABSTRACT

This abstract describes developing a high-speed tracking method by modification in motor components for nanoparticle attachment. Myosin motors are nano-sized protein machines that power the movement that defines life. These miniature molecular devices serve as engines utilizing chemical energy stored in ATP to produce useful mechanical work in the form of a few nanometre displacement events leading to force generation that is required for cargo transport, cell division, and cell locomotion, translated to macroscopic movements like running, etc. The myosin superfamily is vast and varied, with complex and extensive groups of myosin proteins that are categorized into various classes based on their biological roles inside the cell. The present work is focussed on conventional myosin II, which has a low duty ratio and works in co-operativity.

With the advent of in vitro motility assay (IVMA), detailed functional studies of the actomyosin system could be performed. The major challenge with the currently available IVMA for tracking actin filaments is a resolution limitation of ± 50nm. To overcome this, we have developed a single molecule IVMA in which nanoparticles (quantum dot) will be attached along actin filaments and visualized by a super-resolution microscopy system.

This thesis examines the kinetics of rhodamine phalloidin actin as a control data set, followed by the modification of actin by the use of biotin labeling, and finally, the attachment of nanoscale quantum dots to actin in order to investigate the mechanical properties of individual myosin II motors. The control data indicates that the speed at which actin slides increases as the density of myosin on the surface increases and is minimally affected by changes in temperature. The comparative velocity analysis was also performed with the biotin-labeled actin and non-biotin conjugated rhodamine phalloidin actin filament. Both the control and biotin-conjugated F actin gave similar sliding velocities and performed well in the *in vitro* motility assay. It was also discovered that the actin gliding velocity increased as the ATP concentration was raised.

The attachment of nanoscale cargo is based on biotin-streptavidin conjugation chemistry, i.e., biotin-conjugated actin filament was tagged with a streptavidin-coated quantum dot by precise optimization of monomer ratio during polymerization to achieve a single moving quantum dot in the *in vitro* motility assay for study. Using super-resolution microscopy, individual moving quantum dots (Qdots) were seen over time. The dual-channel visualization by Structured Illumination Microscopy, a super-resolution technique, utilizes sinusoidal light patterns to

illuminate the specimen and capture sample information at higher frequencies, resulting in a twofold improvement over the diffraction limit as compared to conventional microscopy systems. Quantum dots were then precisely located using an efficient algorithm with nm tracking accuracy in the 1.5 nm range. The Qdots were tracked as they moved along a surface covered with a skeletal myosin ii motor. The average velocity of Qdot-actin corresponds to the results obtained using actin labeled with rhodamine-phalloidin. So, conjugation was found to have an insignificant effect on motility.

This modified Qdot assay system allows a single-molecule study of the myosin motor and is, therefore, suitable for quantitively estimating the individual step size of the motor during the assay. We have determined the myosin cross-bridges step size by measuring the quantum dots' slowly moving velocity at lower ATP concentration and low myosin surface density. So, this technology is well equipped to perform tracking with high precision in temporal resolution with significantly improved SNR (signal to noise ratio) compared to conventional set-up. Also, the nanoparticles (QD) attached to actin filament act as a point source of light coffering ease in filament tracking compared to conventional manual tracking. Moreover, the cargo (QD) attachment to the thin filament allows for their precise transportation to designated locations on the chip, hence allowing a wide range of nano-technological applications.

Keywords- Actin, biotin actin, cargo, IVMA, Myosin motors, and Single-molecule system.

सारांश

यह सार नैनोकण अनुलग्नक के लिए मोटर घटकों में संशोधन करके एक उच्च गति ट्रैकिंग विधि विकसित करने का वर्णन करता है। मायोसिन मोटर्स नैनो-आकार की प्रोटीन मशीनें हैं जो जीवन को परिभाषित करने वाली गति को शक्ति प्रदान करती हैं। ये लघु आणविक उपकरण कुछ नैनोमीटर विस्थापन घटनाओं के रूप में उपयोगी यांत्रिक कार्य का उत्पादन करने के लिए एटीपी में संग्रहीत रासायनिक ऊर्जा का उपयोग करने वाले इंजन के रूप में काम करते हैं, जिससे कार्गो परिवहन, कोशिका विभाजन और कोशिका गति के लिए आवश्यक बल उत्पन्न होता है, जिसे मैक्रोस्कोपिक आंदोलनों में अनुवादित किया जाता है। दौड़ना, आदि। मायोसिन सुपरफ़ैमिली विशाल और विविध है, जिसमें मायोसिन प्रोटीन के जटिल और व्यापक समूह हैं जिन्हें कोशिका के अंदर उनकी जैविक भूमिकाओं के आधार पर विभिन्न वर्गों में वर्गीकृत किया गया है। वर्तमान कार्य पारंपरिक मायोसिन II पर केंद्रित है, जिसका कर्तव्य अनुपात कम है और सहकारीता में काम करता है।

इन विट्रो गतिशीलता परख (आईवीएमए) के आगमन के साथ, एक्टोमीओसिन प्रणाली का विस्तृत कार्यात्मक अध्ययन किया जा सकता है। एक्टिन फिलामेंट्स को ट्रैक करने के लिए वर्तमान में उपलब्ध IVMA के साथ प्रमुख चुनौती $\pm$ 50nm की रिज़ॉल्यूशन सीमा है। इस पर काबू पाने के लिए, हमने एक एकल अणु आईवीएमए विकसित किया है जिसमें नैनोकणों (क्यूडी) को एक्टिन फिलामेंट्स के साथ जोड़ा जाएगा और एक सुपर-रिज़ॉल्यूशन माइक्रोस्कोपी प्रणाली द्वारा देखा जाएगा।

यह थीसिस एक नियंत्रण डेटा सेट के रूप में रोडामाइन फैलोलाइडिन एक्टिन के कैनेटीक्स की जांच करती है, इसके बाद बायोटिन लेबलिंग के उपयोग से एक्टिन में संशोधन होता है, और अंत में, व्यक्तिगत मायोसिन II के यांत्रिक गुणों की जांच करने के लिए एक्टिन में नैनोस्केल क्वांटम डॉट्स का जुड़ाव होता है। मोटर्स. नियंत्रण डेटा इंगित करता है कि सतह पर मायोसिन का घनत्व बढ़ने पर एक्टिन के फिसलने की गति बढ़ जाती है और तापमान में परिवर्तन से यह न्यूनतम रूप से प्रभावित होता है। तुलनात्मक वेग विश्लेषण बायोटिन-लेबल एक्टिन और गैर-बायोटिन संयुग्मित रोडामाइन फालोइडिन एक्टिन फिलामेंट के साथ भी किया गया था। नियंत्रण और बायोटिन-संयुग्मित एफ एक्टिन दोनों ने समान स्लाइडिंग वेग दिए और इन विट्रो गतिशीलता परख में अच्छा प्रदर्शन किया। यह भी पता चला कि एटीपी सांद्रता बढ़ने पर एक्टिन ग्लाइडिंग वेग बढ़ गया।

नैनोस्केल कार्गो का जुड़ाव बायोटिन-स्ट्रेप्टाविडिन संयुग्मन रसायन विज्ञान पर आधारित है, अर्थात, इन विट्रो गतिशीलता में एकल चलती क्वांटम डॉट को प्राप्त करने के लिए पोलीमराइजेशन के दौरान मोनोमर अनुपात के सटीक अनुकूलन द्वारा बायोटिन-संयुग्मित एक्टिन फिलामेंट को स्ट्रेप्टाविडिन-लेपित क्वांटम डॉट के साथ टैग किया गया था। अध्ययन के लिए परख. सुपर-रिज़ॉल्यूशन माइक्रोस्कोपी का उपयोग करके, समय के साथ व्यक्तिगत गतिशील क्वांटम डॉट्स (क्यूडॉट्स) देखे गए। स्ट्रक्चर्ड इल्यूमिनेशन माइक्रोस्कोपी द्वारा दोहरे चैनल विज़ुअलाइज़ेशन, एक सुपर-रिज़ॉल्यूशन तकनीक, नमूने को रोशन करने और उच्च आवृत्तियों पर नमूना जानकारी कैप्चर करने के लिए साइनसॉइडल प्रकाश पैटर्न का उपयोग करती है, जिसके परिणामस्वरूप पारंपरिक माइक्रोस्कोपी सिस्टम की तुलना में विवर्तन सीमा में दोगुना सुधार होता है। क्वांटम डॉट्स को 1-2 एनएम रेंज में एनएम ट्रैकिंग सटीकता के साथ एक कुशल एल्गोरिदम का उपयोग करके सटीक रूप से स्थित किया गया था। Qdots को तब ट्रैक किया गया जब वे एक कंकाल मायोसिन II मोटर से ढकी सतह पर आगे बढ़ रहे थे। क्यूडॉट-एक्टिन का औसत वेग रोडामाइन-फ़ैलोइडिन के साथ लेबल किए गए एक्टिन का उपयोग करके प्राप्त परिणामों से

मेल खाता है। इसलिए, संयुग्मन का मोती पर नगण्य प्रभाव पाया गया।

यह संशोधित Qdot परख प्रणाली मायोसिन मोटर के एकल-अणु अध्ययन की अनुमति देती है और इसलिए, परख के दौरान मोटर के व्यक्तिगत चरण आकार का मात्रात्मक अनुमान लगाने के लिए उपयुक्त है। हमने कम एटीपी सांद्रता और कम मायोसिन सतह घनत्व पर क्वांटम डॉट्स के धीरे-धीरे चलने वाले वेग को मापकर मायोसिन क्रॉस-ब्रिज चरण आकार निर्धारित किया है। इसलिए, यह तकनीक पारंपरिक सेट-अप की तुलना में काफी बेहतर एसएनआर के साथ अस्थायी रिज़ॉल्यूशन में उच्च परिशुद्धता के साथ ट्रैकिंग करने के लिए अच्छी तरह से सुसज्जित है। इसके अलावा, एक्टिन फिलामेंट से जुड़े नैनोकण (क्यूडी) पारंपरिक मैनुअल ट्रैकिंग की तुलना में फिलामेंट ट्रैकिंग में प्रकाश के एक बिंदु स्रोत के रूप में कार्य करते हैं। इसके अलावा, पतले फिलामेंट से कार्गो (क्यूडी) का जुड़ाव चिप पर विशिष्ट स्थानों पर उनके स्थानांतरण को सक्षम बनाता है, जिससे कई नैनो-तकनीकी अनुप्रयोगों की सुविधा मिलती है।

कीवर्ड- एक्टिन, बायोटिन एक्टिन, कार्गो, आईवीएमए, मायोसिन मोटर्स और एकल-अणु प्रणाली।

CONTENT

LIST OF FIGURES

LIST OF TABLES

ABBREVIATIONS AND SYMBOLS

ADP	Adenosine Diphosphate
ATP	Adenosine Triphosphate
*β*ME	2-β Mercapto Ethanol
BSA	Bovine serum albumin
EMCCD	Electron Multiplying Charge Coupled Device
ELC	Essential Light Chain
Ca^{2+}	Calcium (divalent ions)
CrP	Creatine Phosphate
CPK	Creatine Phosphokinase
d	Working stroke of myosin II motor
DTT	Dithiothreitol
EDTA	Ethylene Diamine Tetraacetic Acid
EGTA	Ethylene Glycol Tetraacetic Acid
HMM	Heavy Meromyosin
IVMA	*In Vitro* Motility Assay
KCl	Potassium chloride
k_{-ADP}	Rate constant for ADP release
k_{+ATP}	Second-order rate constant of ATP binding

kDa	Kilo Dalton
K_m	Apparent binding constant for [MgATP]
k_{-Pi}	The rate constant for the Pi release
KPi	Potassium phosphate buffer
LMM	Light Meromyosin
$MgCl_2$	Magnesium chloride
mM	Millimolar
MOPS	3 - (N-morpholino) propane sulfonic acid
NaN_3	Sodium Azide
PMSF	Phenylmethylsulfonyl fluoride
Pi	Inorganic Phosphate
RLC	Regulatory Light Chain
S1	Sub-fragment 1
S2	Sub-fragment 2
sCMOS	Scientific Complementary Metal Oxide Semiconductor
S.D	Standard Deviation
S.E	Standard Error
SDS PAGE	Sodium Dodecyl Sulfate Poly Acrylamide Gel Electrophoresis
Tm	Tropomyosin
Tn C	Troponin C
Tn I	Troponin I
Tn T	Troponin T

T_{on}	Time of attachment
Tris-Cl	Tris hydrochloride
TRITC	Tetramethyl Rhodamine Isothiocyanate
V_F	Velocity of thin filament sliding in the *IVMA*
V_{max}	Velocity of thin filament sliding at saturating [MgATP]
NA	Numerical Aperture
SNR	Signal-to-noise Ratio
SRM	Super-resolution microscopy
SIM	Structured Illumination microscopy
QD	Quantum dot
HABA	4′-hydroxy azobenzene-2-carboxylic acid
mL	Millilitre
PBS	Phosphate buffer saline
µg	Microgram
µL	Microlitre
AFM	Atomic force microscopy
RT	Room Temperature
mg	Milligram
EDC	N-(3-Dimethylaminopropyl)-N'-ethyl carbodiimide hydrochloride)
NHS	N-Hydroxy succinimide
°C	Degree Celsius

min	Minute
ml	Millilitre
mM	Millimolar
ng	Nanogram
nM	Nanomolar